

宮崎大学工学部 正員 ○藤本 廣
同 同 橋田 漢

1. まえがき

斜面安定や地盤支持力の問題に有限要素解析を適用するに当っては、土の応力・ひずみ関係に伴なう変形係数の非線型的変動を適切に表現する必要がある。本文では、この変形係数の変動を変形過程における体積変化に伴なう骨格構造のリンクの変動という微視的観点から表現できることではないかと考え、その第一段階として土の弾性を物性論的な立場から再検討してみることにした。その考察手段としては、以前に著者の一人が粘土のレオロジ一方程式の導入過程で導入した土の弾性の熱力学・統計力学的表示を再び採用するが、当時の考察では導入過程の仮定にかなり強引な点があったので今回その点を修正して考察を進めることにした。

2. 土の弾性の熱力学・統計力学的表示

2-1. 基礎理論

一般にある物質系に外力 F の増分 dF が作用して、その外力 F の作用方向に可逆的に成るだけ変形し、同時に吸着熱量の変化が生じたとして、その系の内部エネルギー U 、エントロピー S 、絶対温度 T とすれば、熱力学的第一法則に Helmholtz の自由エネルギー ($H = U - TS$) を導入することにより、 $dH = (\partial U / \partial T)T + (\partial S / \partial T)T$ と $(\partial U / \partial T)T = -T(\partial dH / \partial T)_T$ の和として次式で表わされる。

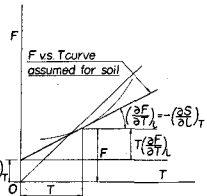
$$dH = (\partial H / \partial T)_T = (\partial U / \partial T)_T - T(\partial S / \partial T)_T \quad \dots \dots \dots (2-1)$$

前出の論文では、この後統計力学的解析を進めため土の $F-T$ 図像を図-1 に示すように直線と仮定し、式(2-1)のエネルギー弾性とエントロピー弾性との間に比例関係が成立すると仮定して dH をエントロピー弾性の項のみで表わしていた。しかし今回は、 $F-T$ 図像はそのまま直線関係とするが、エネルギー弾性とエントロピー弾性との関係については比例関係を仮定せずに夫々の介在因子に応じてそのまゝ解釈することにした。

すなわち、 dH をエネルギー弾性に固守する弾性力成分配とエントロピー弾性に固守する弾性力成分配とに分け、次式で示す対応関係を考えることとした。

$$dH = dH_e + dH_s, \quad dH_e = (\partial U / \partial T)_T, \quad dH_s = -T(\partial S / \partial T)_T \quad \dots \dots \dots (2-2)$$

この前者のエネルギー弾性とエントロピー弾性に対する具体的な介在因子については多く議論の余地はあるが、例えば、前者については粒子相互間の電気的反癒力と吸引力を考慮したボテンシャルエネルギーに対応するもの、後者には



者に対する粒子自体の弾性や吸着水層の弾性を考えられよう。すなわち、 l_0 の長さの系に弾性力 $dF = \Delta \alpha A_0$ (A_0 は系における応力吸の作用面積) が作用して後の可逆的変形が生じて系の長さが l になったとして、二つとも弾性ひずみ率 $\epsilon = (l - l_0) / l_0 = 1 - \frac{l}{l_0}$, $\lambda = l / l_0$ $\dots \dots \dots (2-3)$ と dF との間に次式の関係が成立するものとする。

$$\begin{aligned} \Delta \alpha &= dF / A_0 = (dU_e + dU_s) / A_0 = \Delta \alpha_e + \Delta \alpha_s \\ dE_e &= (E_e + E_s) \lambda \end{aligned} \quad \dots \dots \dots (2-4)$$

2-2. エネルギ弾性

エネルギー弾性に固守するものは $\Delta \alpha_e = dF_e / A_0 = E_{0e} \lambda$ であるが、これは次のように考える。すなわち、ここで粒子相互間に考えたボテンシャルエネルギーを E_0 なるバニラ数に対応させ、そのような弾性をもつリンクを単位変形機構と定義し、この単位変形機構が dF の作用方向に平行な単位長さ当たりに M 個、 dF の作用方向に直角な単位断面積中に N 個連結しているものとする。一方、単位変形機構における平衡状態の粒子間隔を d_0 として、 $d_0 = \alpha M d_0$ (α は $\alpha > 1$ の値をもつ長さについての補正係数) が d によって変形して $d_0 \rightarrow d$ 、 $d_0 \rightarrow l = \alpha M d_0$ になるものとする。また、 $dF_e = k_e (d_0 - d)$ とおえられ、一つの単位変形機構に貯わされたボテンシャルエネルギーは

$$k_e (d_0 - d)^2 / 2 \quad \dots \dots \dots (2-5)$$

となる。したがって、単位体積中にある単位変形機構がもつ全エネルギー U_e は $U_e = k_e M N (d_0 - d)^2 / 2$ となる。さらに、 $d_0 = l_0 / \alpha M$ 、 $d = l / \alpha M$ を考慮すると U_e は

$$U_e = k_e N (l_0 - l)^2 / 2 \alpha M \quad \dots \dots \dots (2-6)$$

$$\Delta \alpha_e = -\frac{G}{M} \frac{\partial \sigma}{\partial M} (l_0 - l) \quad (-\text{は圧縮を表わす}) \quad (2-7)$$

上式に $a = l_0/Md_0$ を代入すると次式が求まる。

$$\Delta \alpha_e = -\frac{G}{M} \frac{\partial \sigma}{\partial M} \frac{l_0 - l}{l_0} \quad (2-8)$$

すなわち、
 $\Delta \alpha_e = |E| \frac{\delta}{l_0}$
 $E_e = k_b M N d_0^2 / G$

2-3. エントロピ弾性

エントロピ弾性については次のように考える。すなわち、式(2-2)によつてエントロピ弾性に対応する弾性力成分は $\Delta P_s = -T(\partial S/\partial l)_T$ であるから、単位変形機構の分布確率 P を決定すれば、
 $S = k_b \ln P$ (k_b は Boltzmann 定数)---(2-10)と利用してエントロピ弾性を記述しうることになる。 P の決定は前出論文と同様に粘土を対象とする場合には図2と図3、また砂のようは粗粒土を対象とする場合には図4～6で単位変形機構の分布を模式的に示したよが仮想網目構造と仮想鎖を考へねばよがろう。いふ、図4と5において任意の単位変形機構を原点0にとり、0から $r^2 = x^2 + z^2$ で表わされる距離 r だけ離れた単位変形機構 $O_m(r)$ ($r, r+dr$) にある確率密度関数は、分布が円対称とすれば次式で与えられる。

$$P(x, z) = \frac{m^2}{2k_b P} \exp\left\{-\frac{(x^2+z^2)}{2r^2}\right\} \quad (2-11)$$

$$f^2 = m(x_i^2 + z_i^2)$$

こゝで、図5の仮想鎖の両端間の距離の各成分(x, z)が m^2 の作用下 $C^2(x, z)$ にならざると、変形後の仮想鎖の数は $dN = N P(x, z) dx dz = N \frac{m^2}{\pi r^2} \exp(-\frac{1}{2}(x^2+z^2)) dx dz, \frac{m^2}{2} r^2$ となる。また1本の仮想鎖の変形によるエントロピーの変化 Δ は、
 $\Delta = k_b \{ \ln P(x, z) - \ln P(x, z) \}$ であるから全エントロピの変化量 S は、
 $S = -N k_b \frac{m^2}{2} \int_{-\infty}^{\infty} \int_{-\infty}^{\infty} \{ \ln[(z^2 - 1)x^2 + (z^2 - 1)z^2] \exp[-\frac{1}{2}(x^2 + z^2)] \} dx dz$ で表わされ、結局、
 $S = -\frac{k_b m^2 N}{2} (z^2 + \frac{1}{2}) \quad (2-12)$ となる。系を等方性とすれば $\frac{\partial S}{\partial z} = 1$ であるから、上式は
 $S = -\frac{k_b m^2 N}{2} (\frac{1}{2} + \frac{1}{2})$ となる。したがつて、
 $\frac{\partial S}{\partial z} = -k_b m^2 N \frac{1}{2}$ となる。これより式(2-2), (2-3)を考慮すると、

$$\Delta \alpha_s = \frac{k_b m^2 N T}{V} \frac{1}{2} = E_s \frac{1}{2} \quad (2-13)$$

上式で $E_s = \bar{E}_s \frac{1}{2}$ となると、
 $\Delta \alpha_s = \bar{E}_s \frac{1}{2} \quad (2-14)$

たゞし、
 $\bar{E}_s = E_s \frac{1}{2} = \frac{k_b m^2 N T}{V} \frac{1}{2} \quad (2-15)$

これがエントロピ弾性の表示式である。

2-4. 総まとめ

以上により、式(2-4), (2-9)から応力増分 $\Delta \alpha$ に対して、

$$\Delta \alpha = \Delta \alpha_e + \Delta \alpha_s = (E_e + \bar{E}_s) \frac{1}{2} = E \frac{1}{2} \quad (2-16)$$

つまり、
 $E = (k_b M N d_0^2 + k_b m^2 N T \frac{1}{2}) / V \quad (2-17)$

となり、これにより上の弾性の微視的説明がある程度可



図2. 粘土の骨格構造の模式
因(Tan Jeng Kie, 1956)

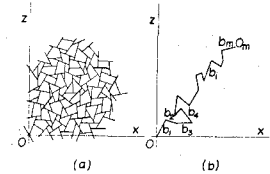


図3. 粘土の仮想網目模型(仮想鎖)
(森田, 1962)

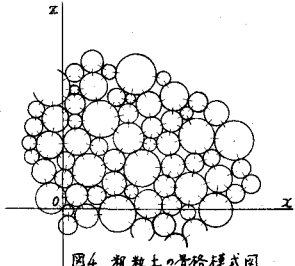


図4. 粗粒土の骨格模式図

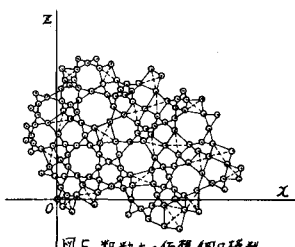


図5. 粒子上の仮想鎖模型

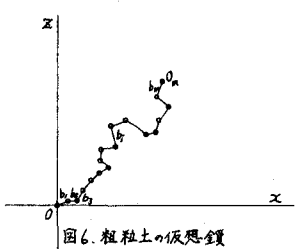


図6. 粗粒土上の仮想鎖

能になる。すなわち、式(2-17)において、弾性を支配する要因は、単位変形機構の数、ひびき示される変形程度、絶対温度、粒子間距離、Boltzmann の定数、粒子間のボテンシャルエネルギーに対応するバキ度数である。いふ温度を一定とすれば、単位変形機構の数は粒度密度に対応し、さらに体積変化に応じて変動する

ものと考えてよがろう。また、変形程度を表わす $\frac{\partial S}{\partial z}$ は $\frac{\partial S}{\partial z} = \frac{1}{2} \frac{\partial S}{\partial z} = \frac{1}{2} \frac{\partial S}{\partial z} = \frac{1}{2} \frac{\partial S}{\partial z}$ であるから、この比の値は変形が進むにつれて小さくなり、した

がって E も小さくなって実際の応力・ひずみ関係にもよく対応することにはなる。

一方、三軸圧縮条件下的体積変化 ΔV と E との現象論的関係として、
 $E = \frac{1}{\nu} (1 - 2\nu) (\alpha_1 + 2\alpha_3), \{ \nu = \text{Poisson's ratio} \} \quad (2-18)$ が成立するが、これは、 $E = \text{一定}$ というケースは $\nu = 0.5$ で $\Delta V = 0$ かつ $\alpha_3 = 0$ に限られるこことを示している。

3. あとがき

式(17)のデミンジョンは妥当であるか、問題は α の α - σ と α の定量的決定であろう。 k_b は Boltzmann 定数と限定せず、土に独自の定数が決定できるいかどうかと考へている。

参考文献

- 1) 内田・森田：粘土の応力緩和と機構についての考察、「材料」116号、1938年5月。
- 2) H. Fujimoto: "The Theoretical Research on the Stress Relaxation of clay by Thermodynamics and Statistical Mechanics," "Rheology & Soil Mechanics," I.U.T.A.M., 1966年3月。